

Starkniederschlagshöhen und -spenden gemäß KOSTRA-DWD-2020

Rasterfeld 77184

(Zeile 77, Spalte 184)

Regenspende und Bemessungsniederschlagswerte in Abhängigkeit von Wiederkehrzeit T und Dauerstufe D

| Dauerstufe D | | Wiederkehrzeit T | | | | | | | | | | | | | | | | | |
|--------------|-----|------------------|------------|------|------------|------|------------|------|------------|------|------------|------|------------|-------|------------|-------|------------|-------|------------|
| | | 1 a | | 2 a | | 3 a | | 5 a | | 10 a | | 20 a | | 30 a | | 50 a | | 100 a | |
| min | Std | mm | l / (s ha) | mm | l / (s ha) | mm | l / (s ha) | mm | l / (s ha) | mm | l / (s ha) | mm | l / (s ha) | mm | l / (s ha) | mm | l / (s ha) | mm | l / (s ha) |
| 5 | | 6,4 | 213,3 | 8,0 | 266,7 | 8,9 | 296,7 | 10,2 | 340,0 | 12,0 | 400,0 | 13,9 | 463,3 | 15,1 | 503,3 | 16,7 | 556,7 | 19,0 | 633,3 |
| 10 | | 8,3 | 138,3 | 10,4 | 173,3 | 11,6 | 193,3 | 13,3 | 221,7 | 15,6 | 260,0 | 18,1 | 301,7 | 19,7 | 328,3 | 21,8 | 363,3 | 24,8 | 413,3 |
| 15 | | 9,5 | 105,6 | 11,8 | 131,1 | 13,2 | 146,7 | 15,1 | 167,8 | 17,8 | 197,8 | 20,6 | 228,9 | 22,4 | 248,9 | 24,8 | 275,6 | 28,2 | 313,3 |
| 20 | | 10,3 | 85,8 | 12,9 | 107,5 | 14,4 | 120,0 | 16,5 | 137,5 | 19,4 | 161,7 | 22,4 | 186,7 | 24,4 | 203,3 | 27,0 | 225,0 | 30,8 | 256,7 |
| 30 | | 11,6 | 64,4 | 14,4 | 80,0 | 16,1 | 89,4 | 18,4 | 102,2 | 21,7 | 120,6 | 25,1 | 139,4 | 27,3 | 151,7 | 30,2 | 167,8 | 34,4 | 191,1 |
| 45 | | 12,9 | 47,8 | 16,0 | 59,3 | 17,9 | 66,3 | 20,5 | 75,9 | 24,1 | 89,3 | 27,9 | 103,3 | 30,4 | 112,6 | 33,6 | 124,4 | 38,3 | 141,9 |
| 60 | 1 | 13,8 | 38,3 | 17,2 | 47,8 | 19,3 | 53,6 | 22,0 | 61,1 | 25,9 | 71,9 | 30,0 | 83,3 | 32,7 | 90,8 | 36,2 | 100,6 | 41,1 | 114,2 |
| 90 | 1,5 | 15,3 | 28,3 | 19,0 | 35,2 | 21,3 | 39,4 | 24,3 | 45,0 | 28,7 | 53,1 | 33,1 | 61,3 | 36,1 | 66,9 | 39,9 | 73,9 | 45,4 | 84,1 |
| 120 | 2 | 16,4 | 22,8 | 20,3 | 28,2 | 22,8 | 31,7 | 26,0 | 36,1 | 30,7 | 42,6 | 35,5 | 49,3 | 38,6 | 53,6 | 42,8 | 59,4 | 48,7 | 67,6 |
| 180 | 3 | 18,0 | 16,7 | 22,4 | 20,7 | 25,1 | 23,2 | 28,6 | 26,5 | 33,8 | 31,3 | 39,0 | 36,1 | 42,5 | 39,4 | 47,0 | 43,5 | 53,5 | 49,5 |
| 240 | 4 | 19,3 | 13,4 | 23,9 | 16,6 | 26,8 | 18,6 | 30,6 | 21,3 | 36,1 | 25,1 | 41,7 | 29,0 | 45,4 | 31,5 | 50,3 | 34,9 | 57,2 | 39,7 |
| 360 | 6 | 21,1 | 9,8 | 26,3 | 12,2 | 29,4 | 13,6 | 33,6 | 15,6 | 39,6 | 18,3 | 45,8 | 21,2 | 49,9 | 23,1 | 55,2 | 25,6 | 62,8 | 29,1 |
| 540 | 9 | 23,2 | 7,2 | 28,8 | 8,9 | 32,3 | 10,0 | 36,9 | 11,4 | 43,5 | 13,4 | 50,3 | 15,5 | 54,8 | 16,9 | 60,6 | 18,7 | 69,0 | 21,3 |
| 720 | 12 | 24,8 | 5,7 | 30,8 | 7,1 | 34,5 | 8,0 | 39,4 | 9,1 | 46,5 | 10,8 | 53,7 | 12,4 | 58,5 | 13,5 | 64,7 | 15,0 | 73,7 | 17,1 |
| 1080 | 18 | 27,2 | 4,2 | 33,8 | 5,2 | 37,8 | 5,8 | 43,2 | 6,7 | 50,9 | 7,9 | 58,9 | 9,1 | 64,1 | 9,9 | 71,0 | 11,0 | 80,8 | 12,5 |
| 1440 | 24 | 29,0 | 3,4 | 36,0 | 4,2 | 40,4 | 4,7 | 46,1 | 5,3 | 54,4 | 6,3 | 62,9 | 7,3 | 68,5 | 7,9 | 75,8 | 8,8 | 86,2 | 10,0 |
| 2880 | 48 | 33,9 | 2,0 | 42,2 | 2,4 | 47,3 | 2,7 | 54,0 | 3,1 | 63,6 | 3,7 | 73,6 | 4,3 | 80,1 | 4,6 | 88,7 | 5,1 | 100,9 | 5,8 |
| 4320 | 72 | 37,2 | 1,4 | 46,2 | 1,8 | 51,8 | 2,0 | 59,2 | 2,3 | 69,8 | 2,7 | 80,7 | 3,1 | 87,8 | 3,4 | 97,2 | 3,8 | 110,6 | 4,3 |
| 5760 | 96 | 39,7 | 1,1 | 49,4 | 1,4 | 55,3 | 1,6 | 63,2 | 1,8 | 74,5 | 2,2 | 86,1 | 2,5 | 93,8 | 2,7 | 103,8 | 3,0 | 118,1 | 3,4 |
| 7200 | 120 | 41,8 | 1,0 | 51,9 | 1,2 | 58,2 | 1,3 | 66,4 | 1,5 | 78,3 | 1,8 | 90,6 | 2,1 | 98,6 | 2,3 | 109,1 | 2,5 | 124,2 | 2,9 |
| 8640 | 144 | 43,5 | 0,8 | 54,1 | 1,0 | 60,6 | 1,2 | 69,2 | 1,3 | 81,6 | 1,6 | 94,4 | 1,8 | 102,8 | 2,0 | 113,7 | 2,2 | 129,4 | 2,5 |
| 10080 | 168 | 45,1 | 0,7 | 56,0 | 0,9 | 62,8 | 1,0 | 71,7 | 1,2 | 84,5 | 1,4 | 97,8 | 1,6 | 106,4 | 1,8 | 117,8 | 1,9 | 134,0 | 2,2 |

Starkniederschlagshöhen und -spenden gemäß KOSTRA-DWD-2020

Rasterfeld 77184

(Zeile 77, Spalte 184)

Örtliche Unsicherheiten in Abhängigkeit von Wiederkehrzeit T und Dauerstufe D

| Dauerstufe D | | Wiederkehrzeit T | | | | | | | | |
|--------------|-----|------------------|-----|-----|-----|------|------|------|------|-------|
| | | 1 a | 2 a | 3 a | 5 a | 10 a | 20 a | 30 a | 50 a | 100 a |
| min | Std | ± % | ± % | ± % | ± % | ± % | ± % | ± % | ± % | ± % |
| 5 | | 12 | 12 | 12 | 12 | 12 | 13 | 13 | 14 | 14 |
| 10 | | 11 | 13 | 14 | 15 | 16 | 17 | 17 | 18 | 19 |
| 15 | | 12 | 14 | 16 | 17 | 18 | 19 | 20 | 20 | 21 |
| 20 | | 13 | 16 | 17 | 18 | 19 | 20 | 21 | 22 | 22 |
| 30 | | 14 | 17 | 18 | 19 | 21 | 22 | 22 | 23 | 24 |
| 45 | | 15 | 17 | 18 | 20 | 21 | 22 | 23 | 23 | 24 |
| 60 | 1 | 15 | 17 | 18 | 20 | 21 | 22 | 23 | 23 | 24 |
| 90 | 1,5 | 14 | 17 | 18 | 19 | 21 | 22 | 22 | 23 | 24 |
| 120 | 2 | 14 | 16 | 18 | 19 | 20 | 21 | 22 | 23 | 23 |
| 180 | 3 | 13 | 16 | 17 | 18 | 19 | 20 | 21 | 22 | 22 |
| 240 | 4 | 12 | 15 | 16 | 17 | 19 | 20 | 20 | 21 | 22 |
| 360 | 6 | 12 | 14 | 15 | 16 | 18 | 19 | 19 | 20 | 21 |
| 540 | 9 | 11 | 13 | 14 | 15 | 17 | 18 | 18 | 19 | 20 |
| 720 | 12 | 11 | 13 | 14 | 15 | 16 | 17 | 18 | 18 | 19 |
| 1080 | 18 | 11 | 12 | 13 | 14 | 15 | 16 | 17 | 17 | 18 |
| 1440 | 24 | 11 | 12 | 13 | 14 | 15 | 16 | 16 | 17 | 17 |
| 2880 | 48 | 12 | 12 | 13 | 13 | 14 | 15 | 15 | 16 | 16 |
| 4320 | 72 | 13 | 13 | 13 | 13 | 14 | 15 | 15 | 15 | 16 |
| 5760 | 96 | 14 | 13 | 13 | 14 | 14 | 15 | 15 | 15 | 16 |
| 7200 | 120 | 14 | 14 | 14 | 14 | 14 | 15 | 15 | 15 | 16 |
| 8640 | 144 | 15 | 14 | 14 | 14 | 15 | 15 | 15 | 15 | 16 |
| 10080 | 168 | 16 | 15 | 15 | 15 | 15 | 15 | 15 | 16 | 16 |

Parameter für abweichende T und D

Lokationsparameter ξ (Xi)

14,15762532

Skalenparameter α (Alpha)

4,77748021

Formparameter κ (Kappa)

-0,1

1. Koutsoyiannis-Parameter θ (Theta)

0,02893677

2. Koutsoyiannis-Parameter η (Eta)

0,77380992

Parameter für dauerstufenübergreifende Extremwertschätzung nach KOUTSOYIANNIS et al. 1998.

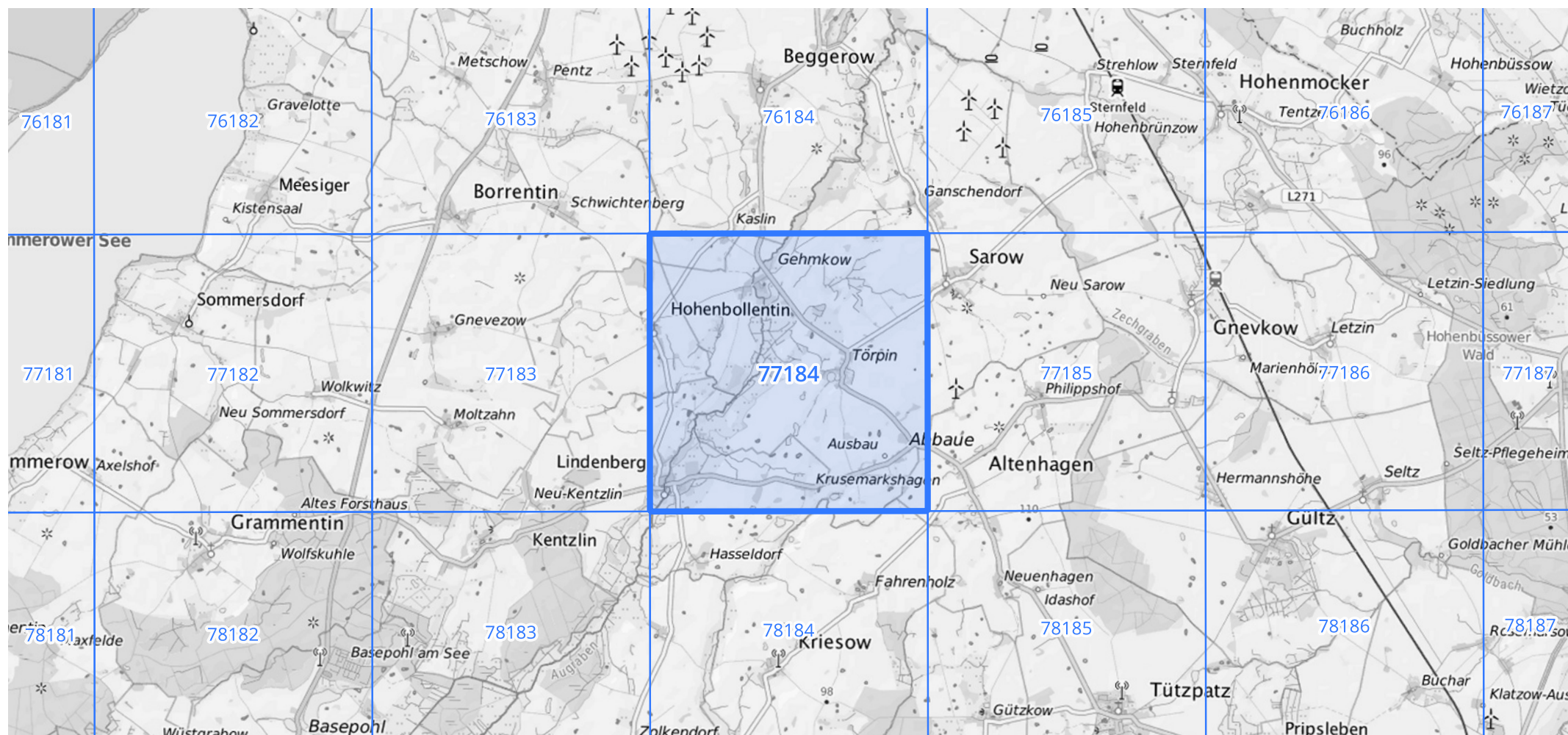
Siehe auch Anwendungshilfe zu KOSTRA-DWD-2020 des Deutschen Wetterdienstes.

Starkniederschlagshöhen und -spenden gemäß KOSTRA-DWD-2020

Rasterfeld 77184

(Zeile 77, Spalte 184)

Übersichtskarte des Rasterfeldes 77184, M 1 : 100 000



Quelle Rasterdaten: KOSTRA-DWD-2020 des Deutschen Wetterdienstes, Stand 12/2022.

Seite 3 von 3

Kartendarstellung: © Bundesamt für Kartographie und Geodäsie (2023), Datenquellen: https://sgx.geodatenzentrum.de/web_public/gdz/datenquellen/Datenquellen_TopPlusOpen.html

Für die Richtigkeit und Aktualität der Angaben wird keine Gewähr übernommen. Erstellt 01/2023.